

602  
27

1-17

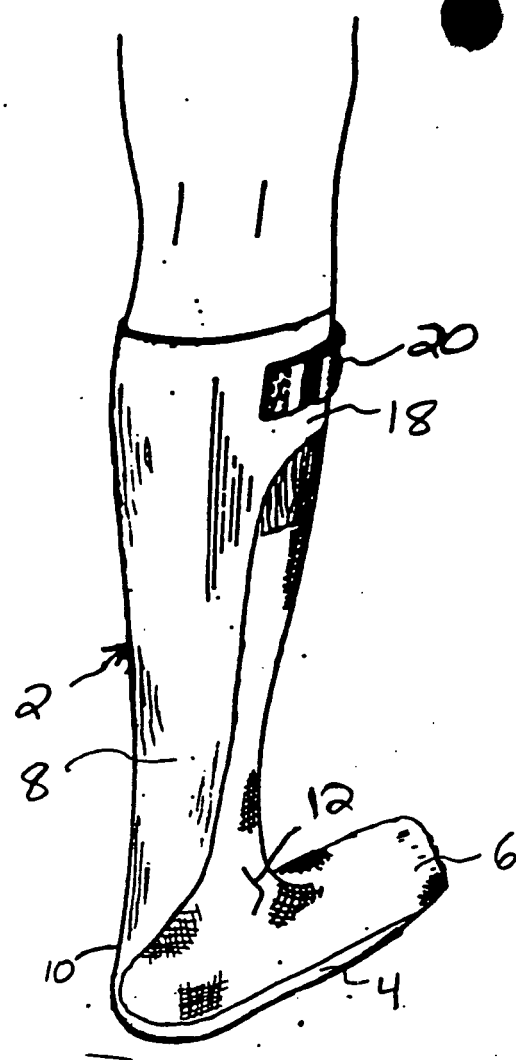


Fig. 1

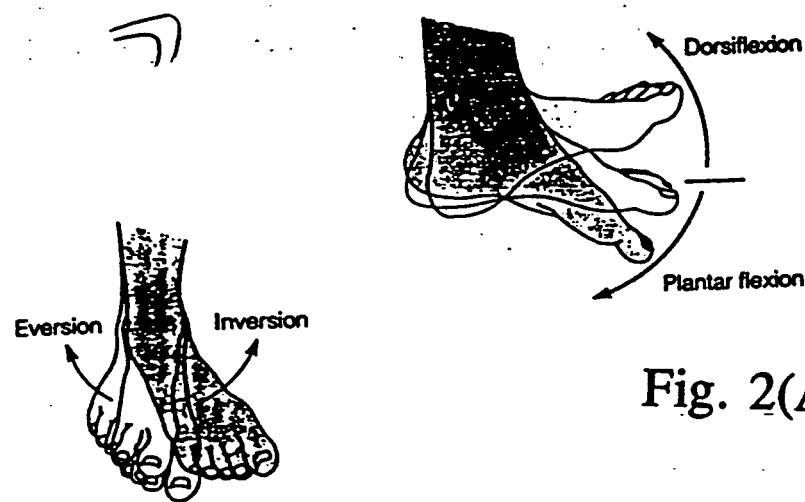


Fig. 2(A)

Fig. 2(B)

Fig. 3(A)

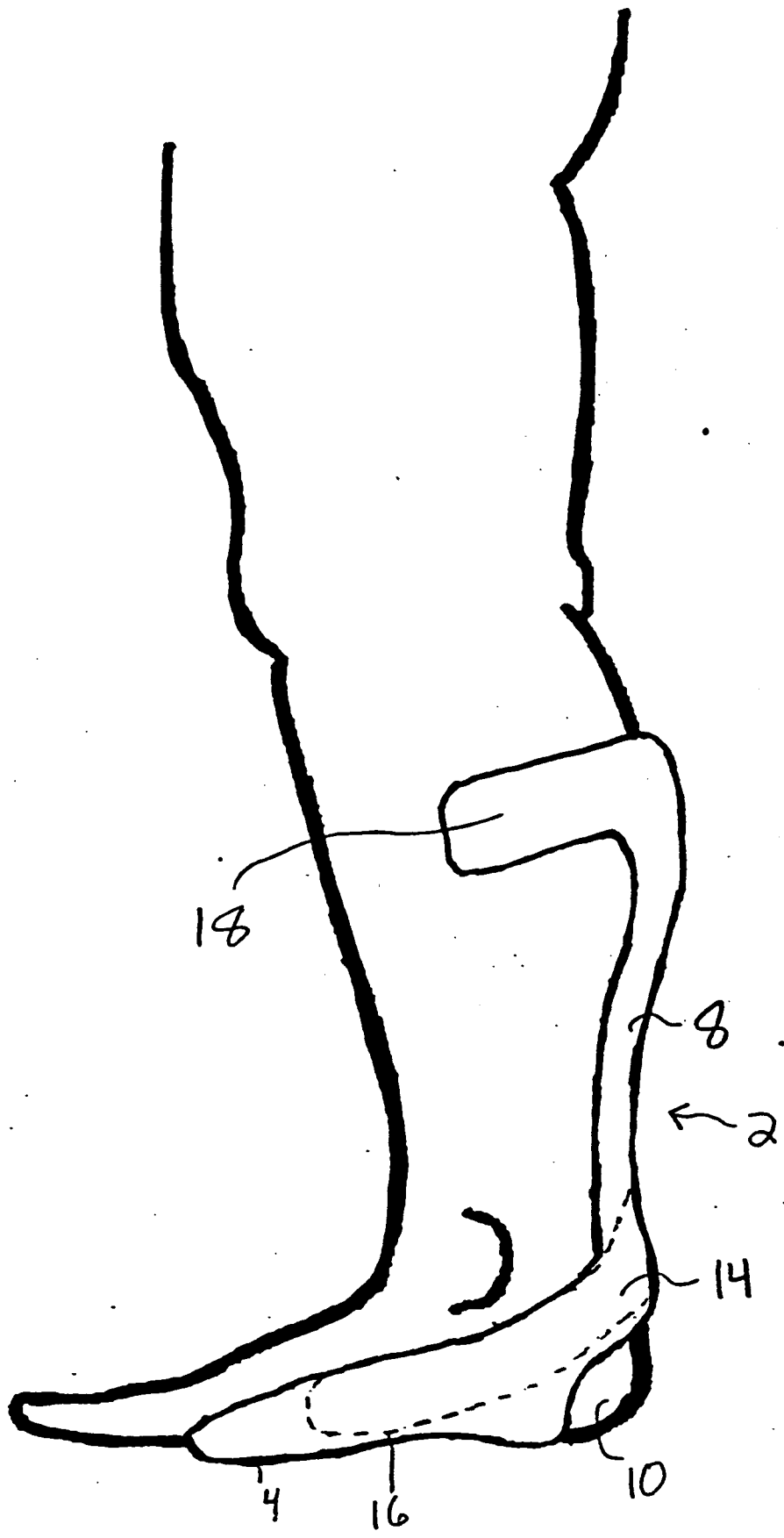


Fig. 3(B)

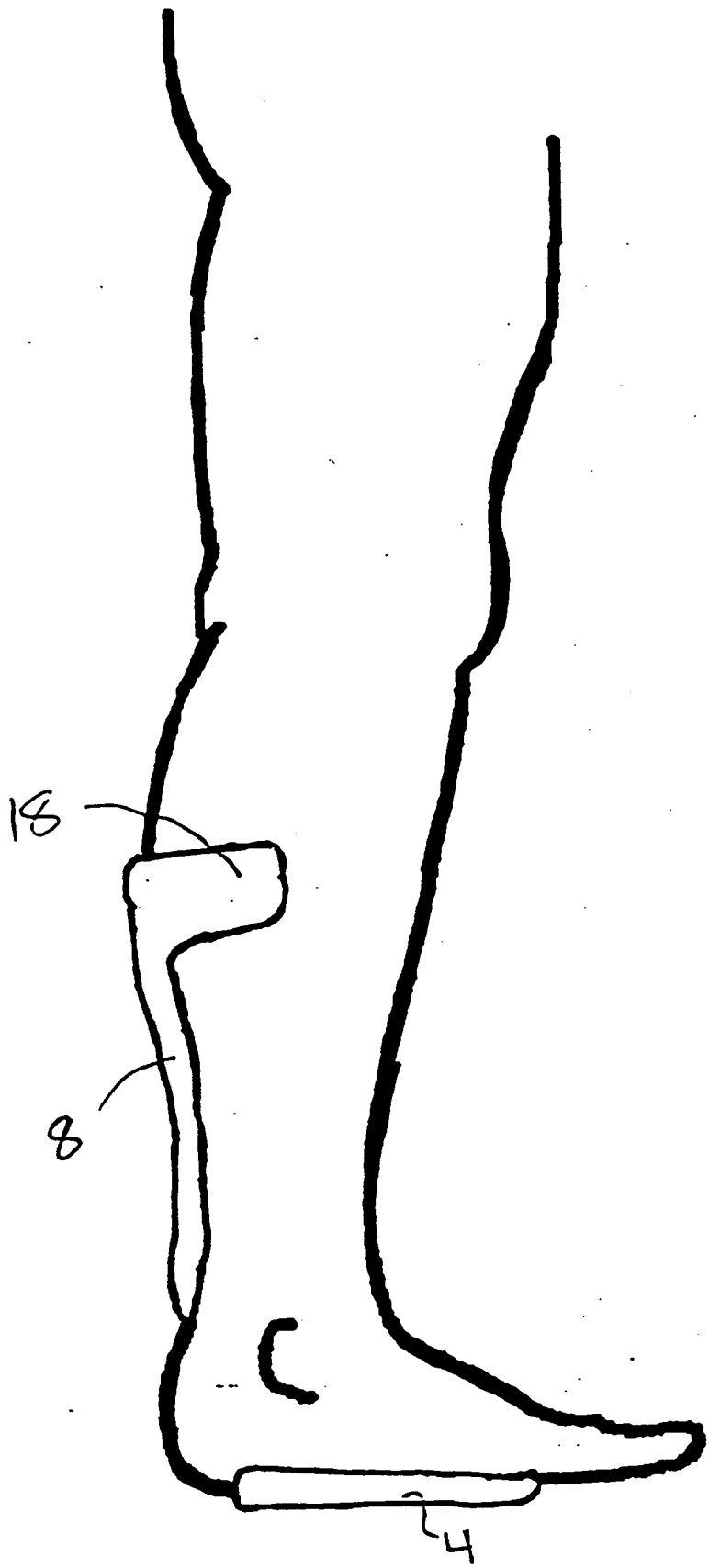


Fig. 3(C)

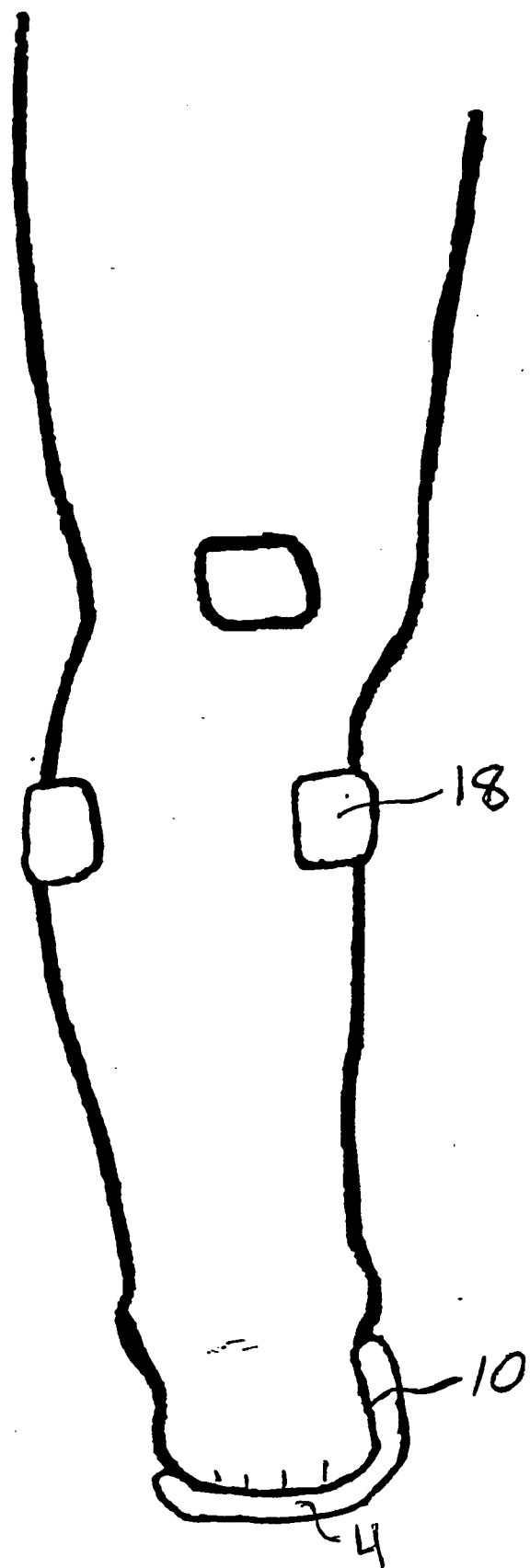


Fig. 3(D)

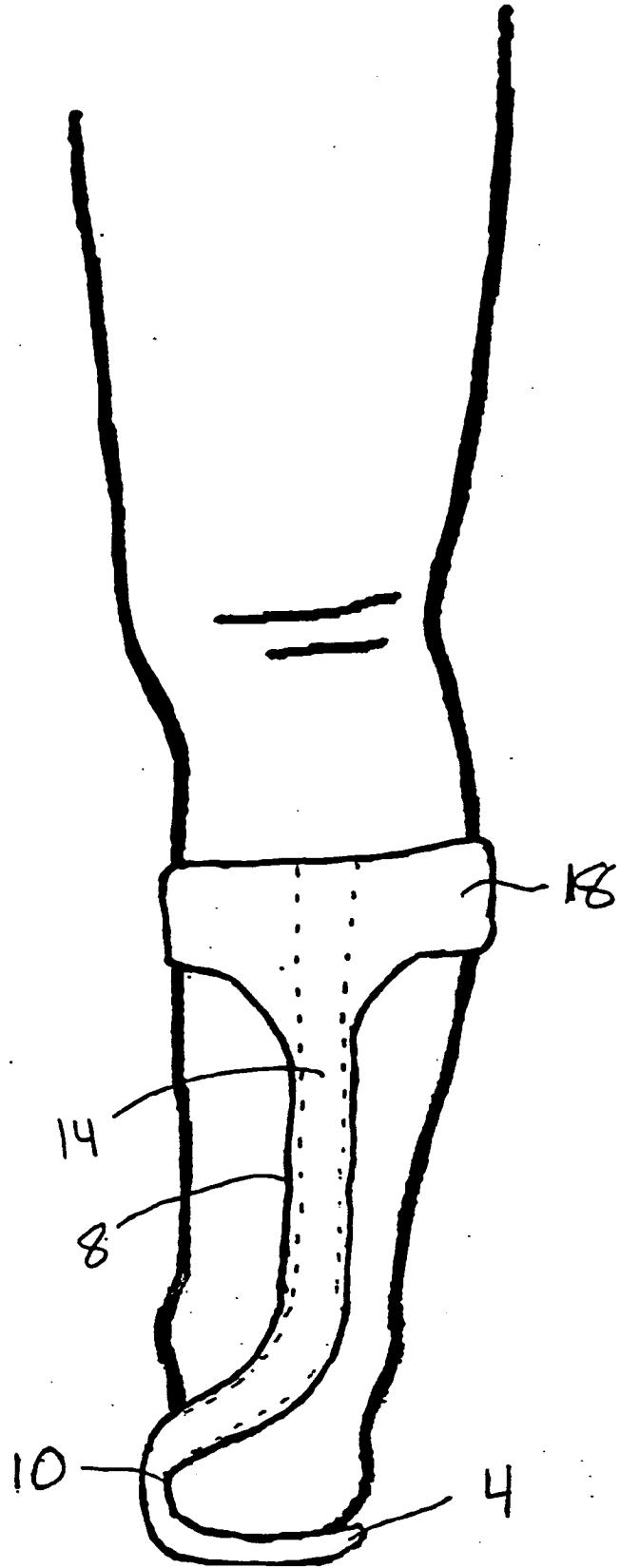


Figure 4

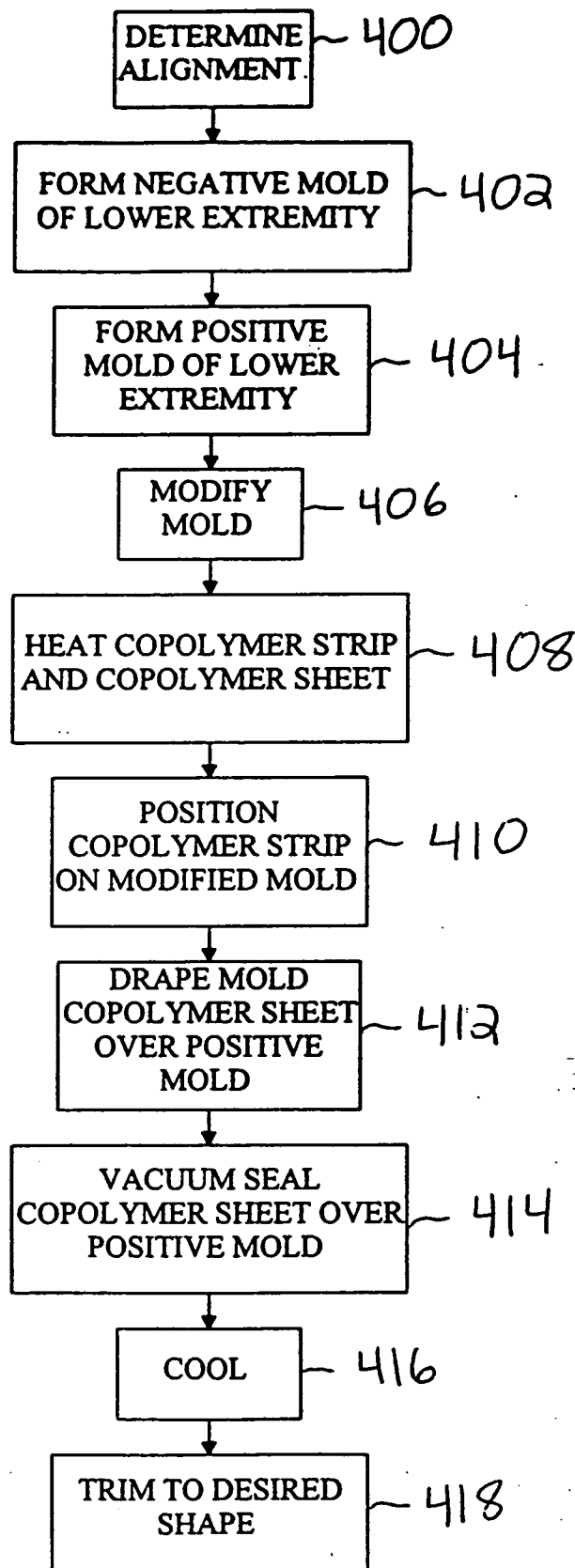


Fig. 5

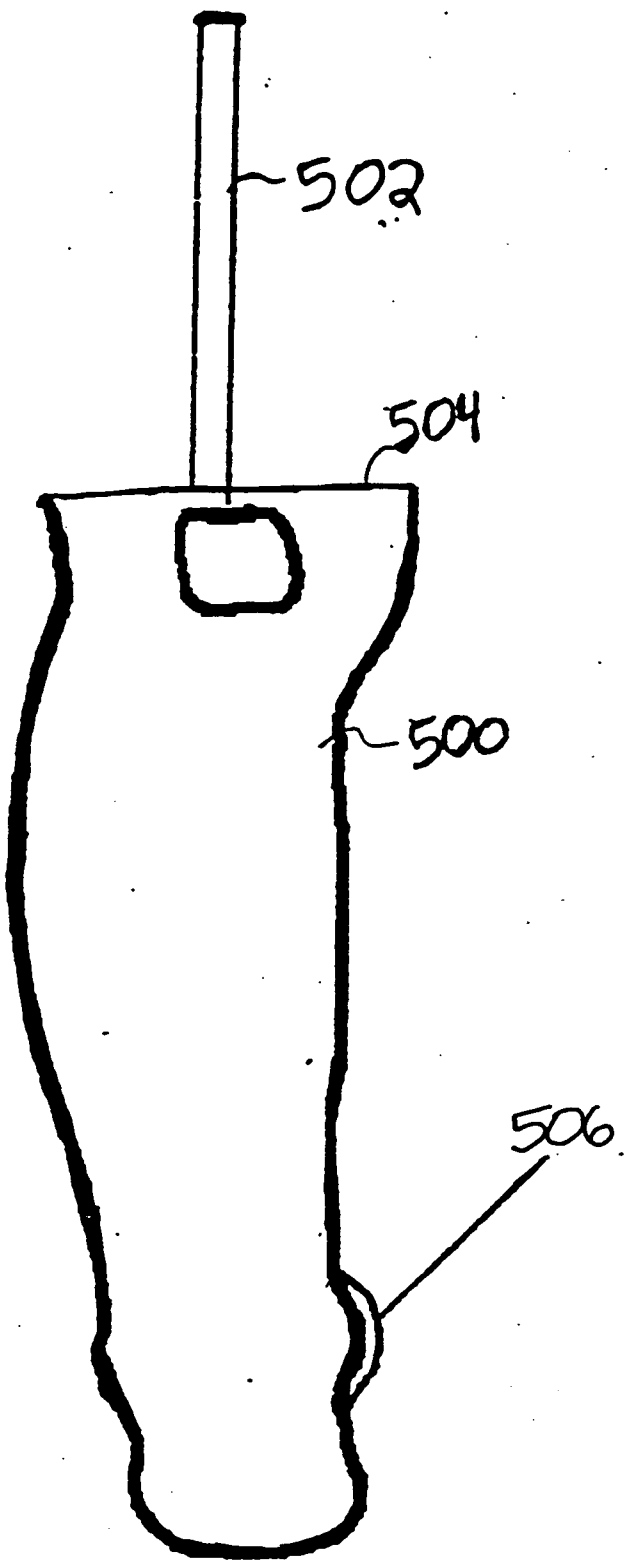


Fig. 6(A)

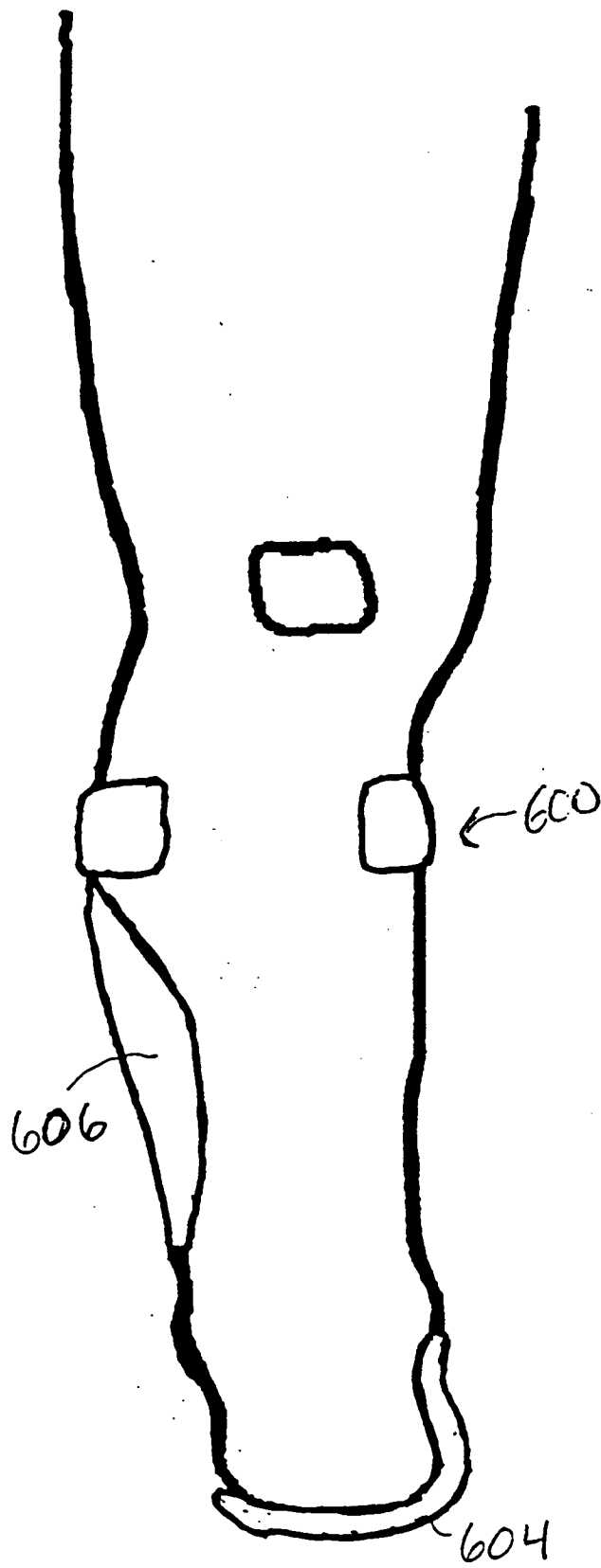


Fig. 6(B)

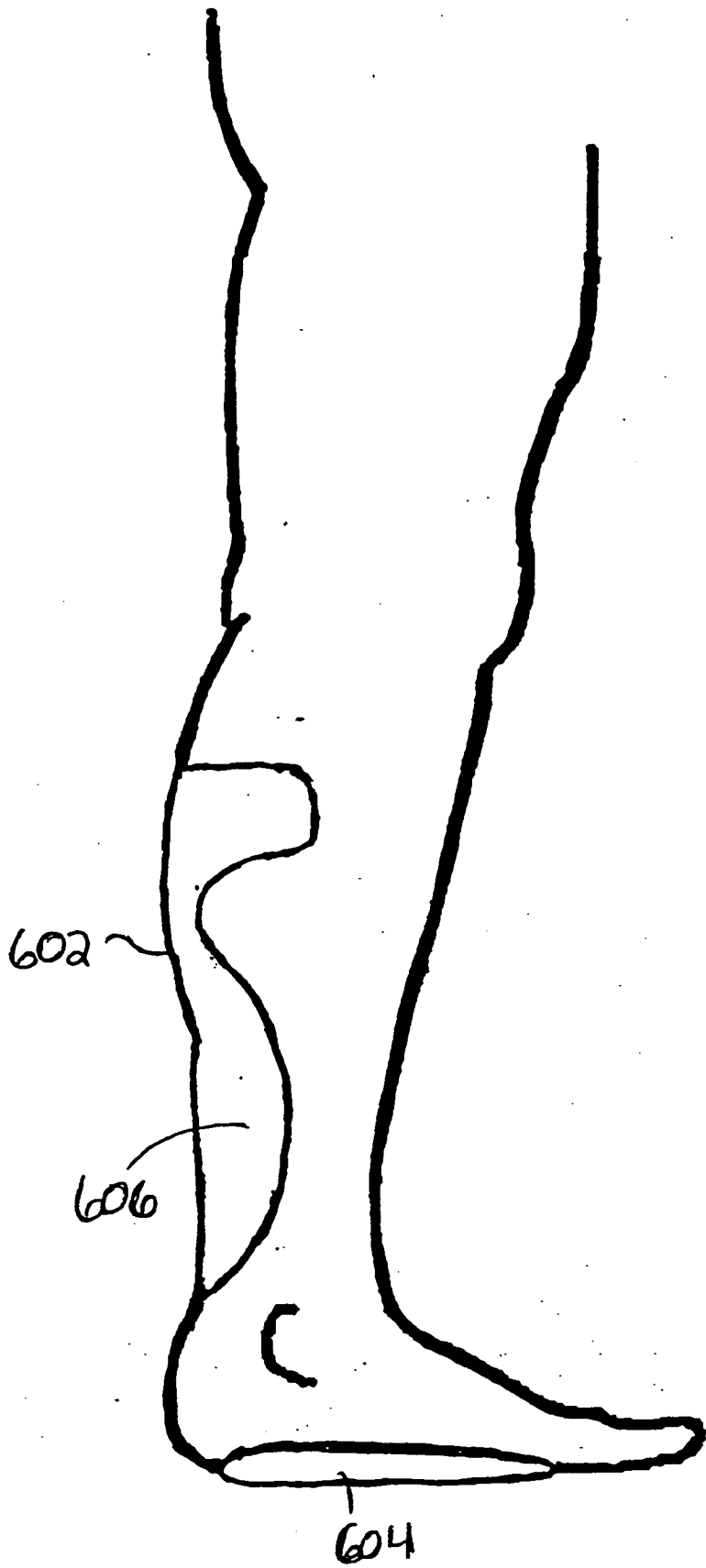
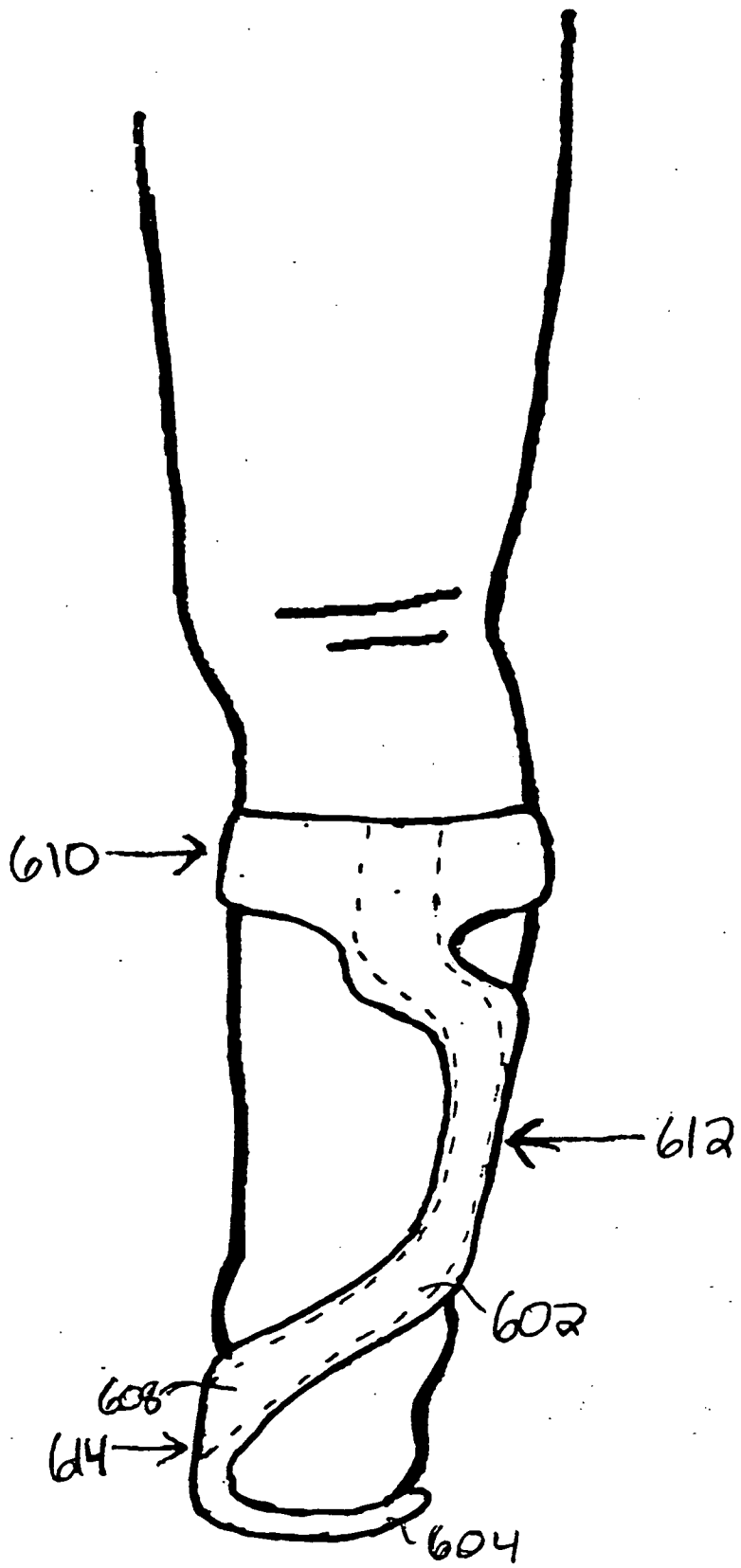


Fig. 6(C)



95E 021F 62655480

Fig. 6(D)

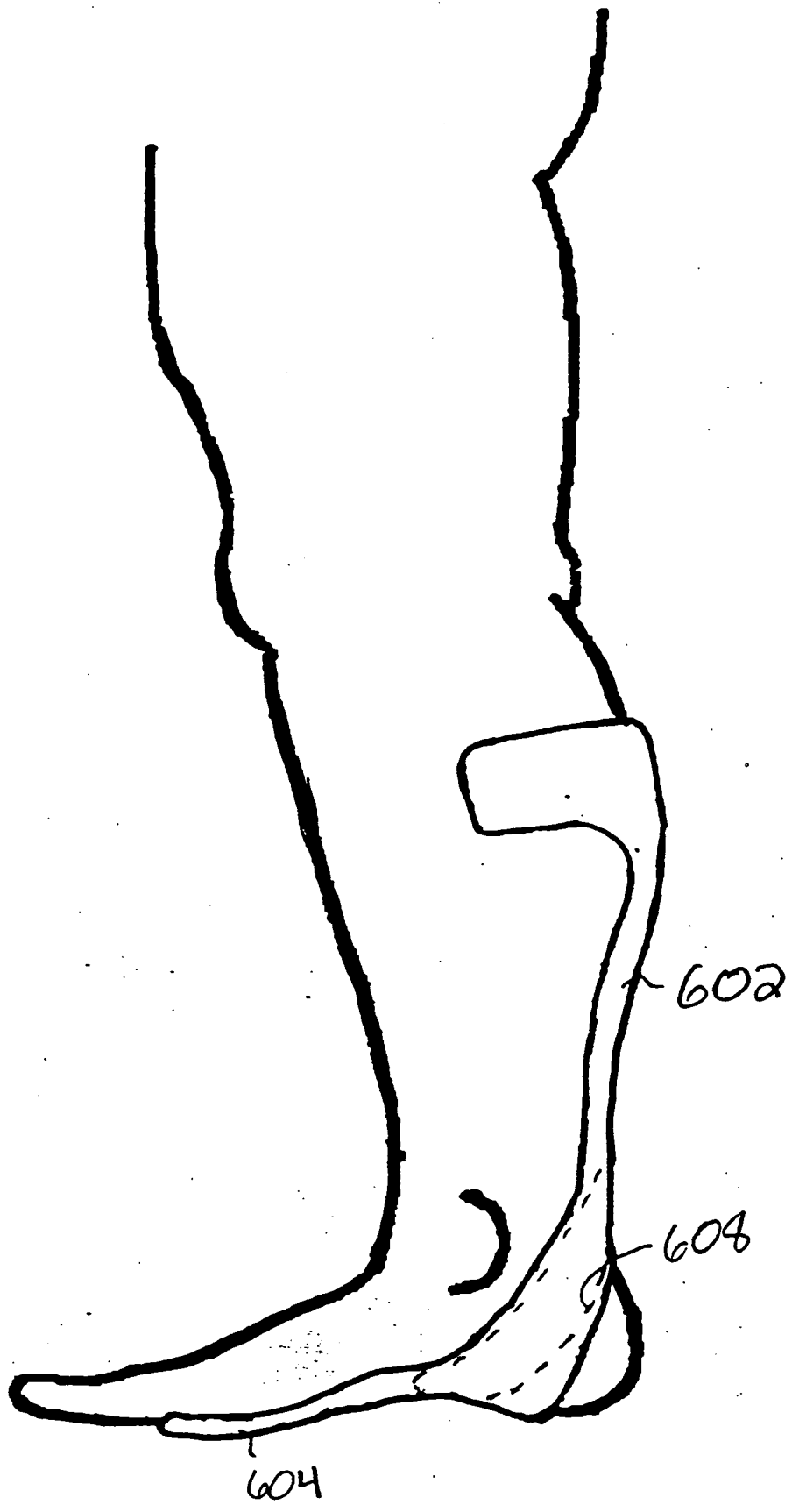


Fig. 8(A)

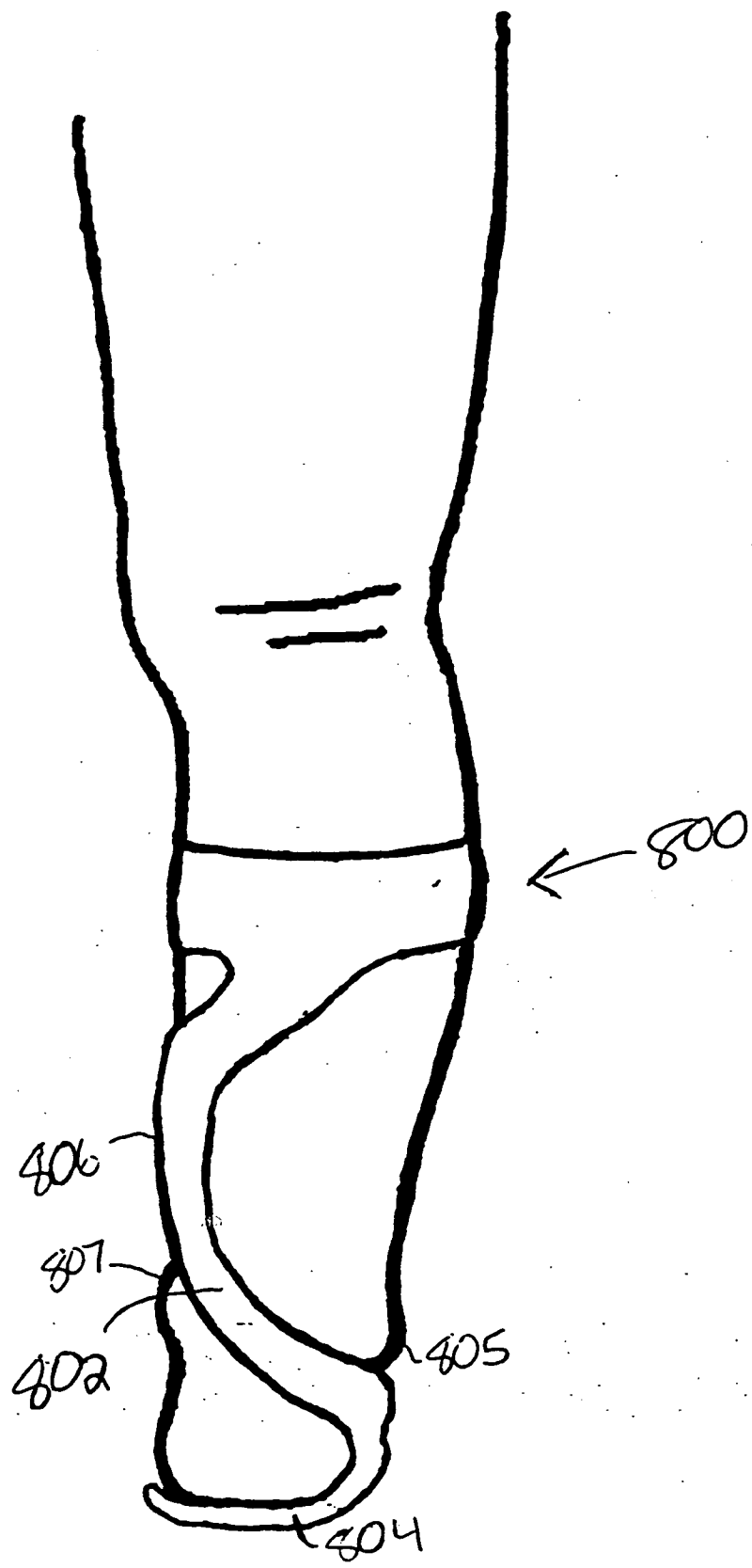


Fig. 7

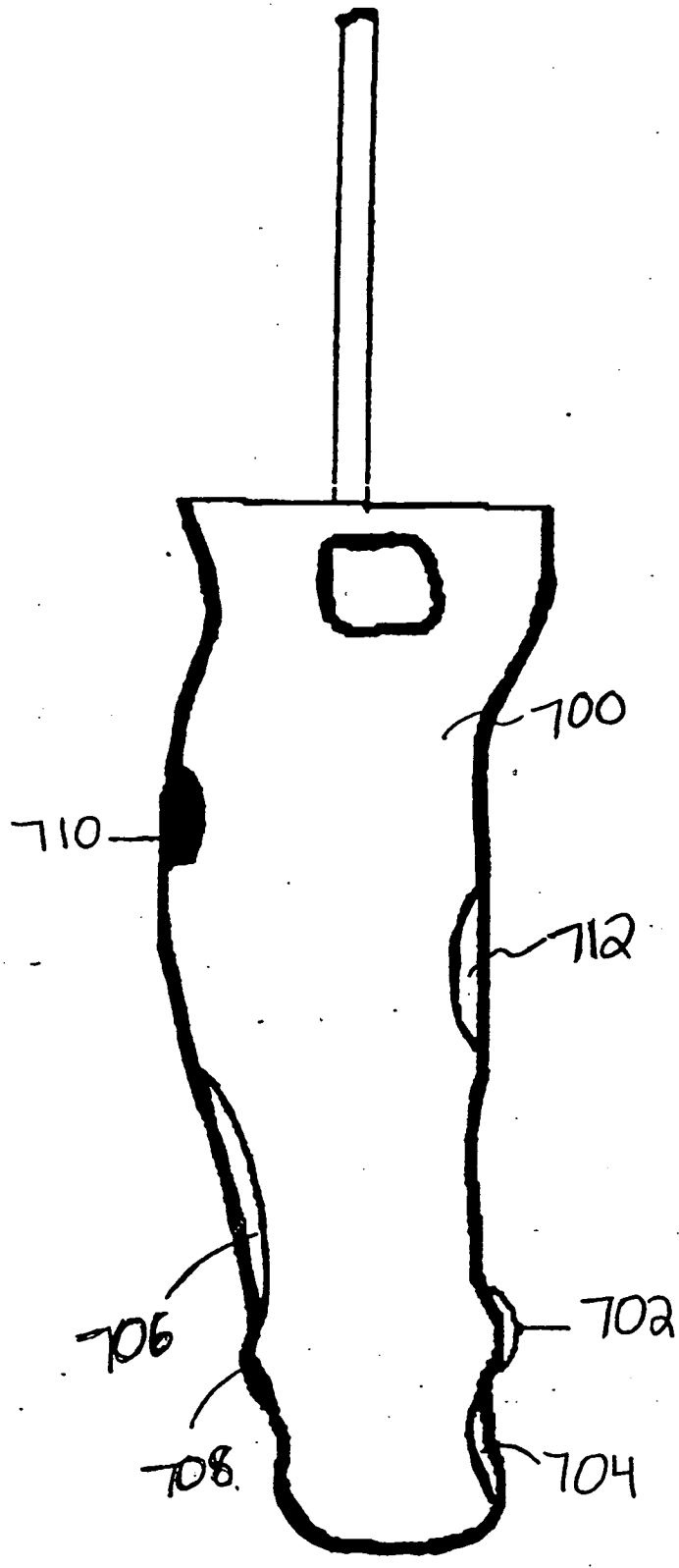


Fig. 8(B)

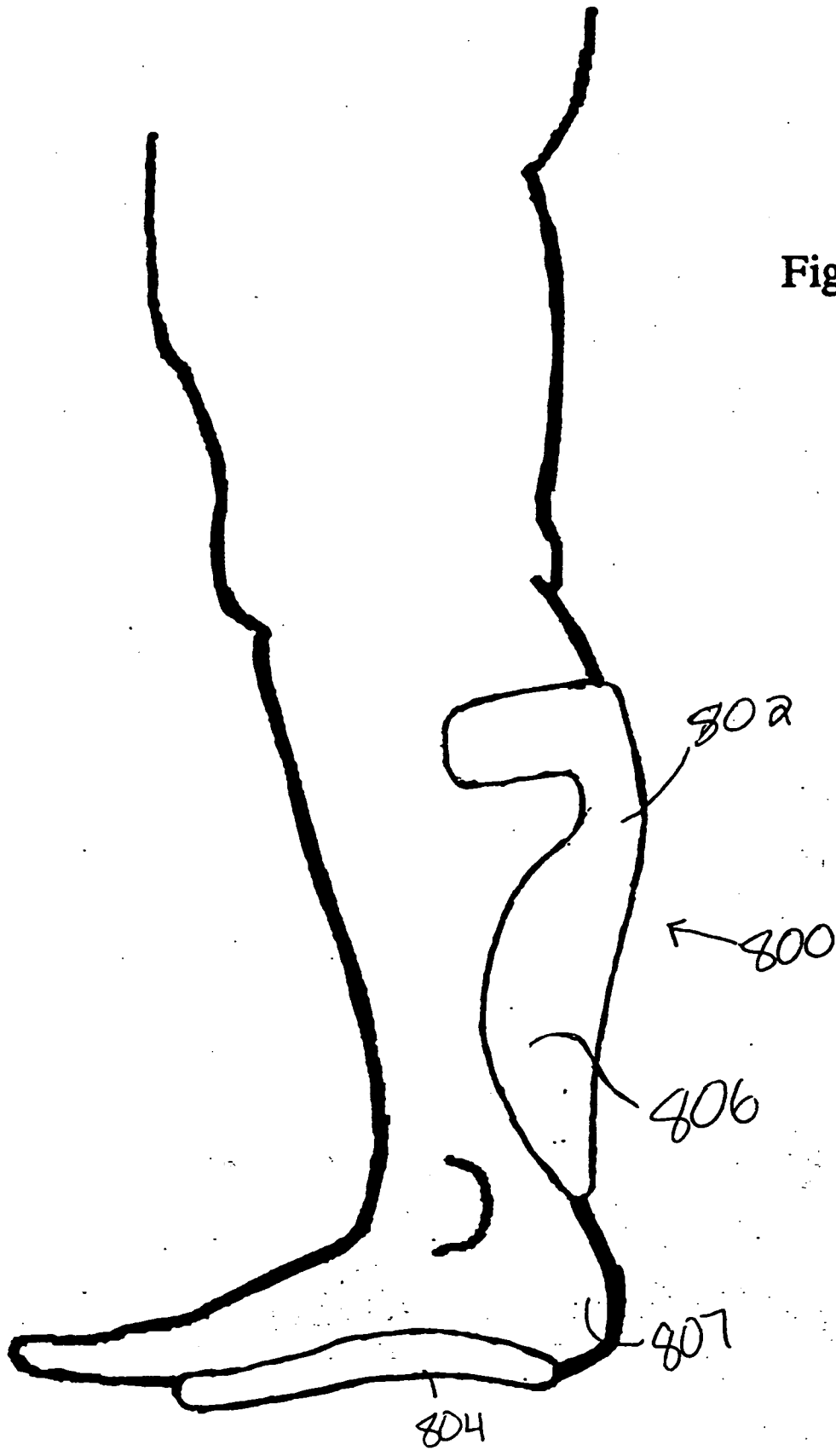


Fig 8(C)

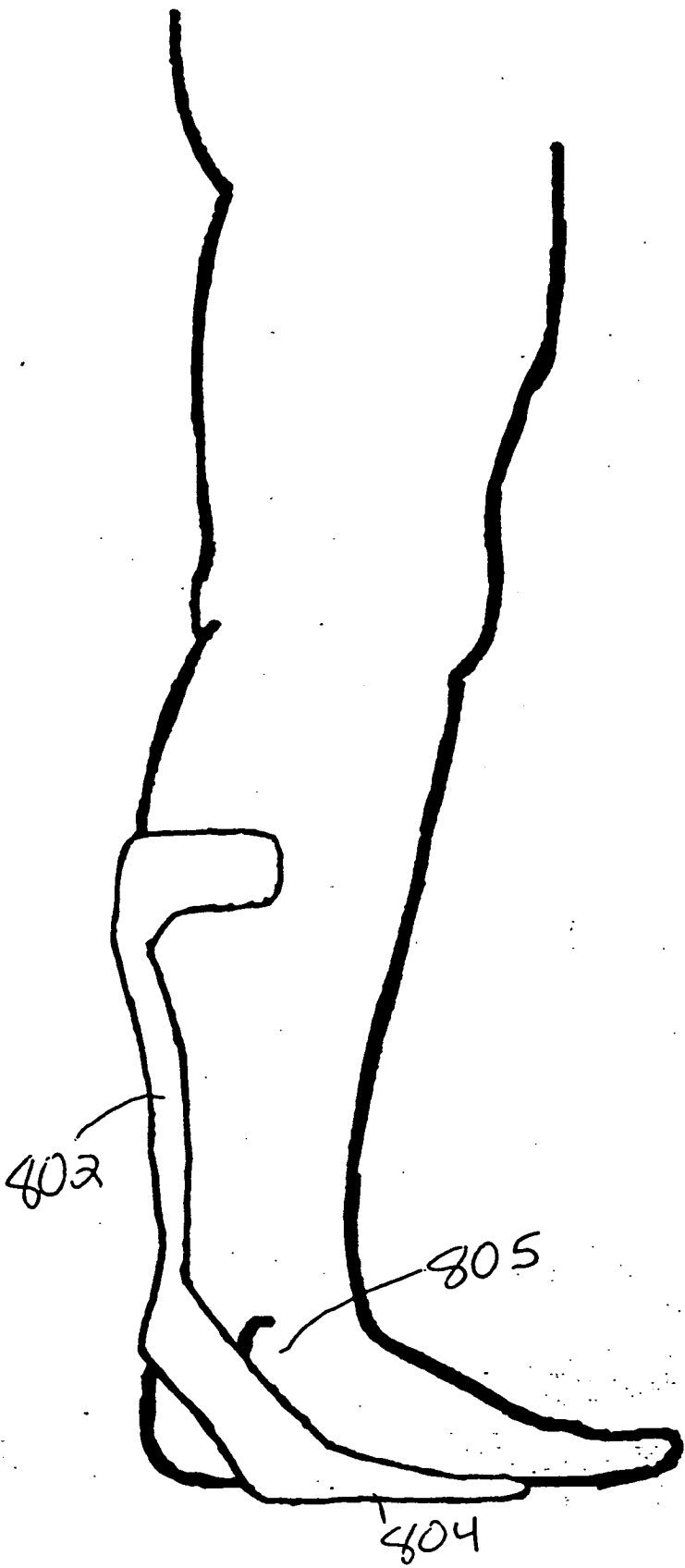


Fig. 8(D)

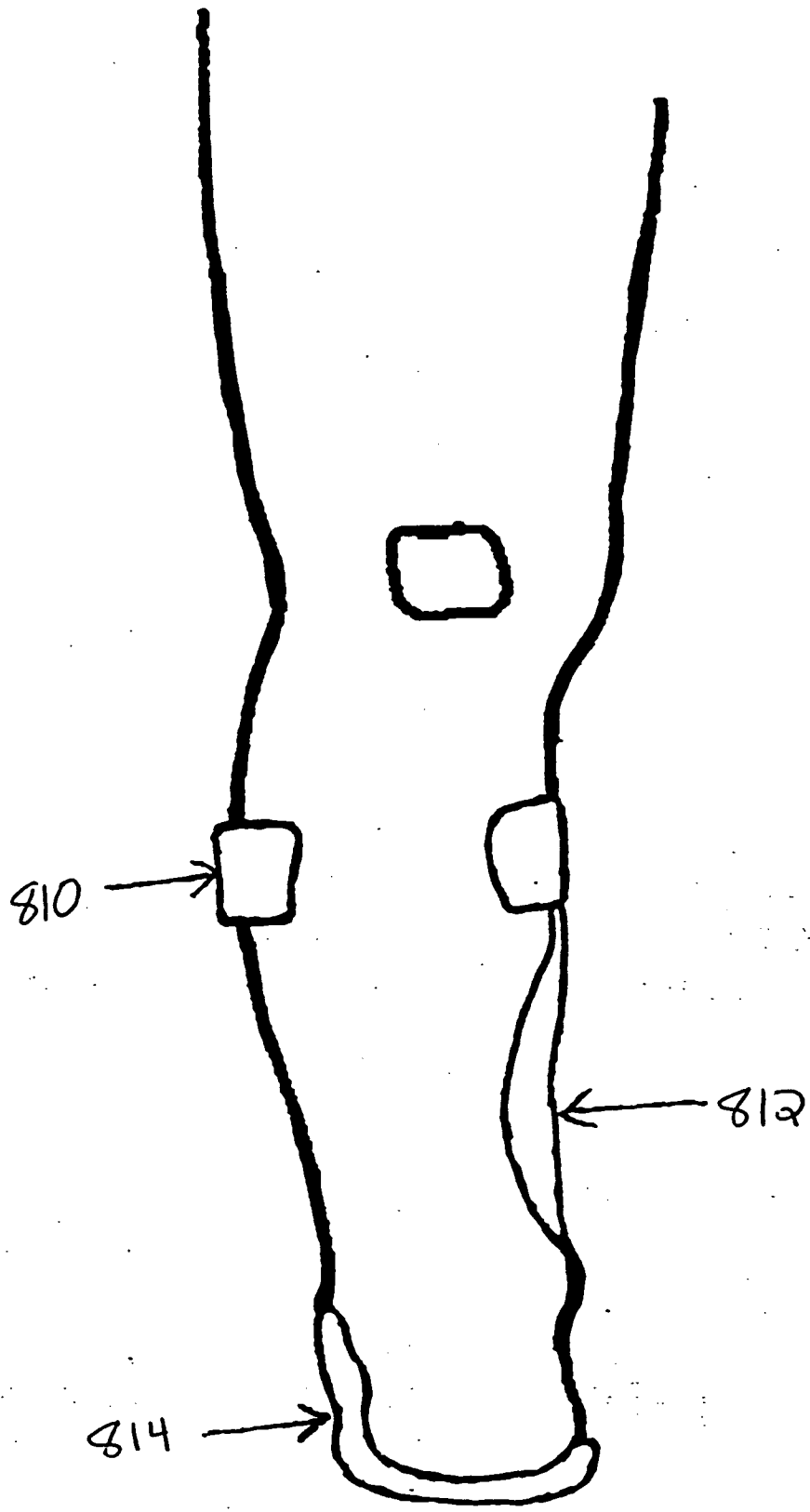


Fig. 9.

